



# Modulazioni digitali

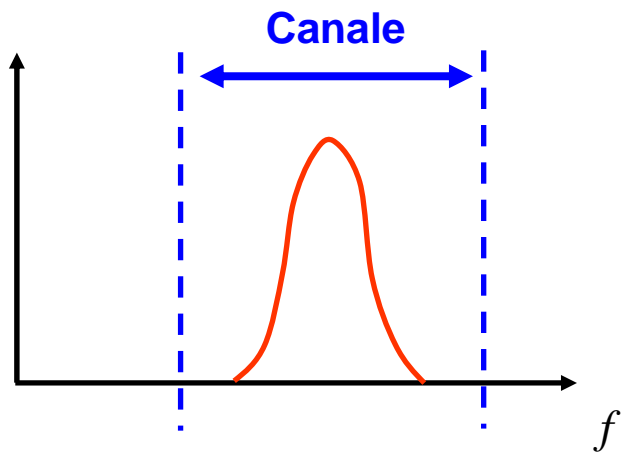
**Massimiliano Pieraccini**

# Modulazione

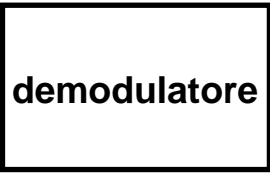
Informazione  
(banda base)



Canale

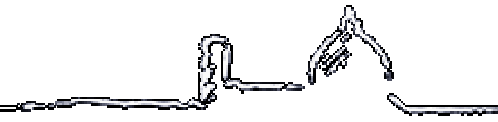


Canale

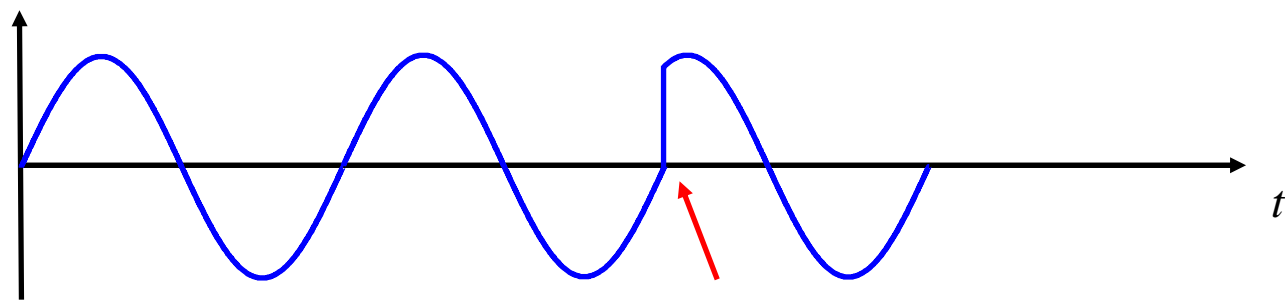
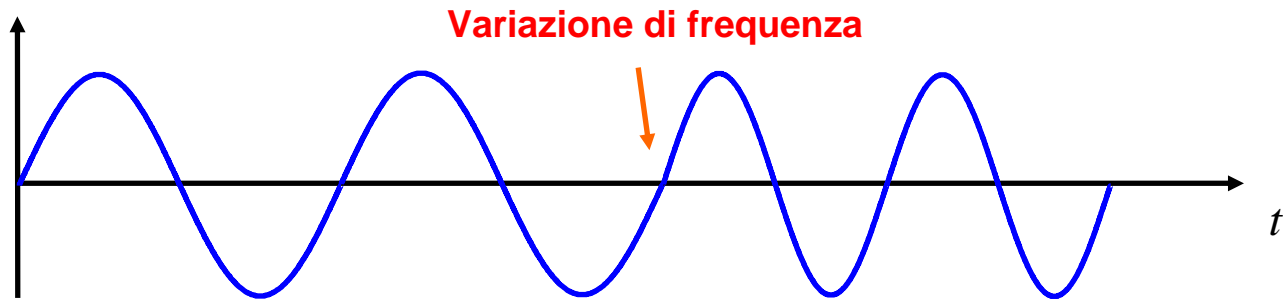
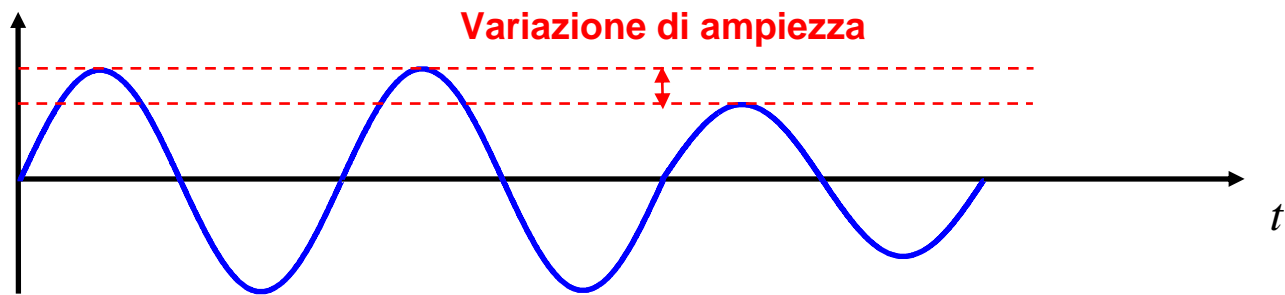


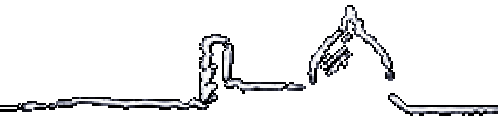
Informazione  
(banda base)

# Tipi di modulazione



Portante  
(centrata nel canale)



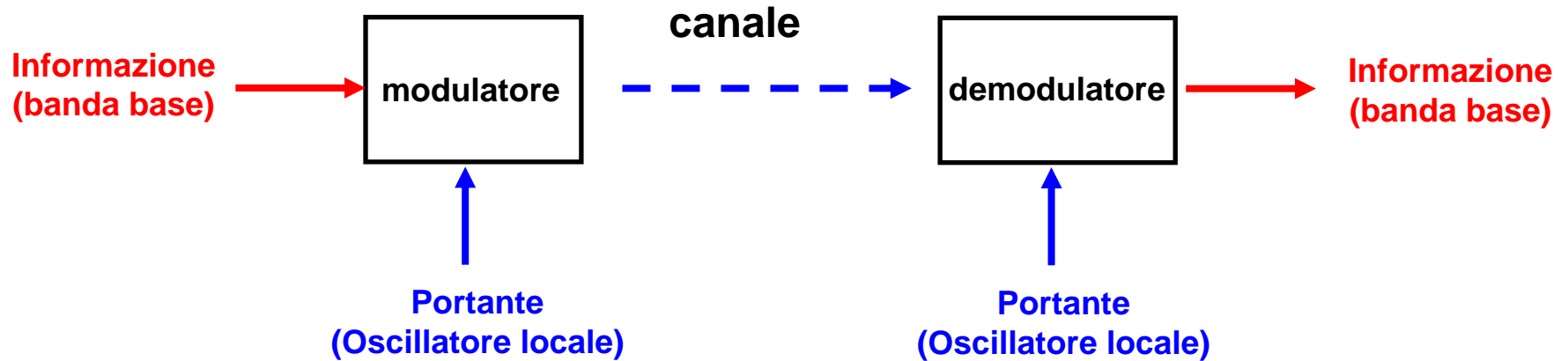


**Variazioni continue** —————→ **Modulazioni analogiche**

**Variazioni discrete** —————→ **Modulazioni digitali**

**A ogni valore discreto corrisponde un simbolo**

**“Rigenerazione del segnale”**

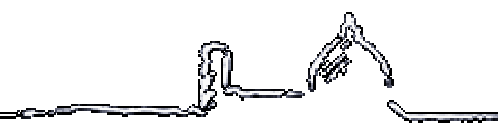


**bit rate:** numero di bit al secondo

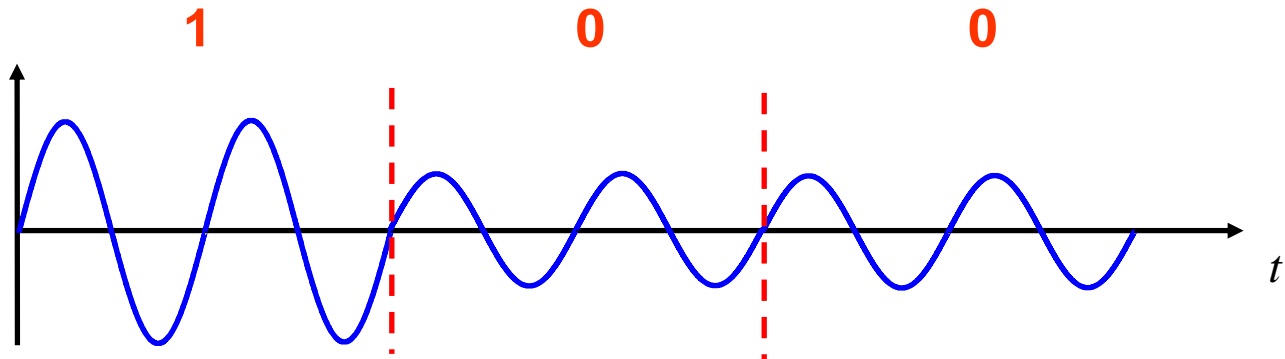
**baud:** numero di simboli al secondo

M numero di stati del simbolo

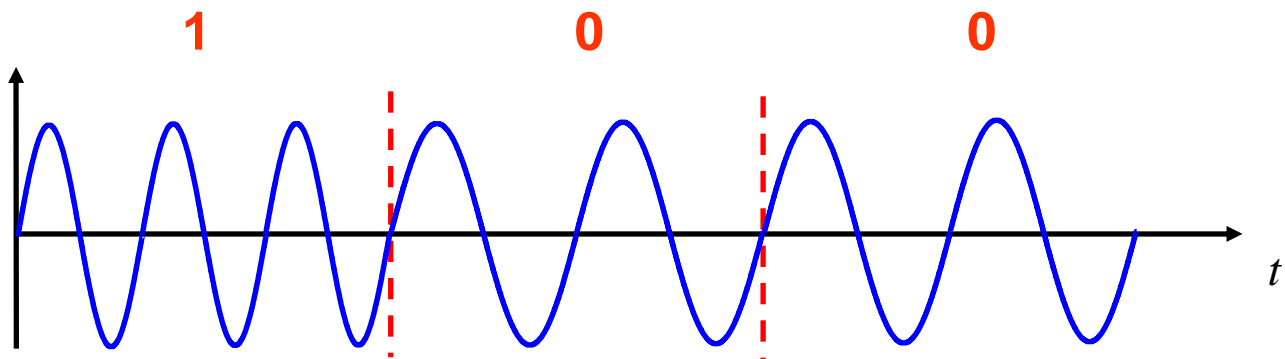
**Capacità:**  $f_b = B \log_2(M)$   $B = \text{bandabase}$

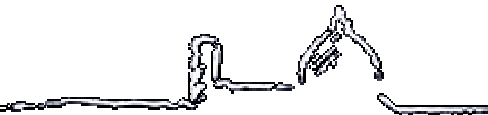


ASK (Amplitude Shift Keying)

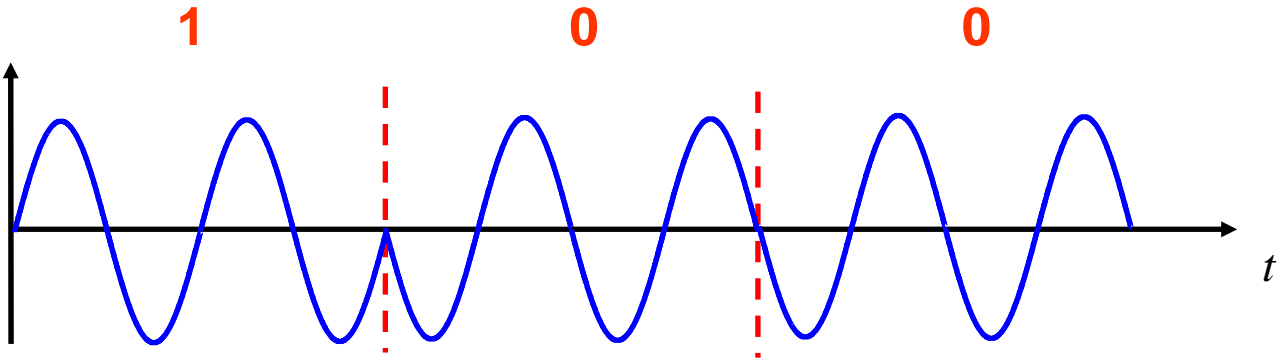


FSK (Frequency Shift Keying)

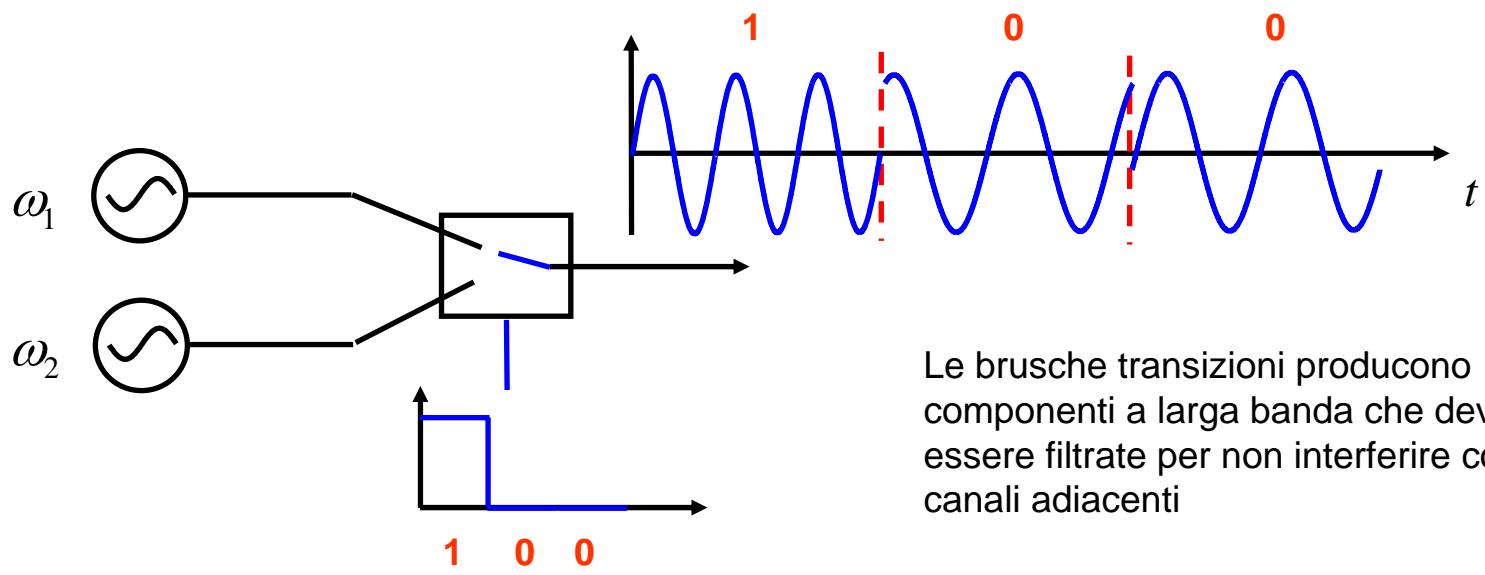




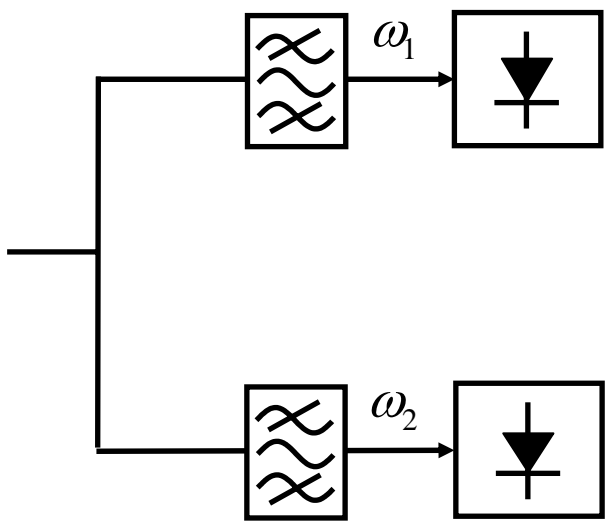
PSK (Phase Shift Keying)



# FSK



Le brusche transizioni producono componenti a larga banda che devono essere filtrate per non interferire con i canali adiacenti

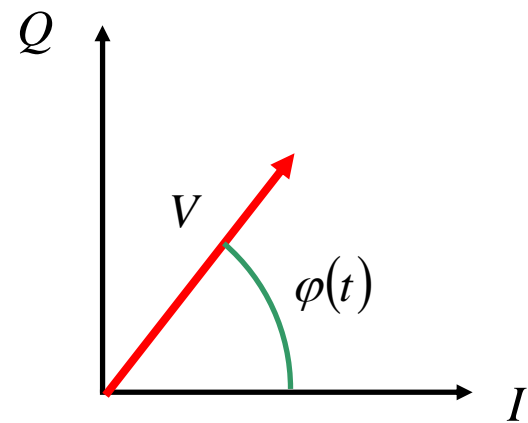




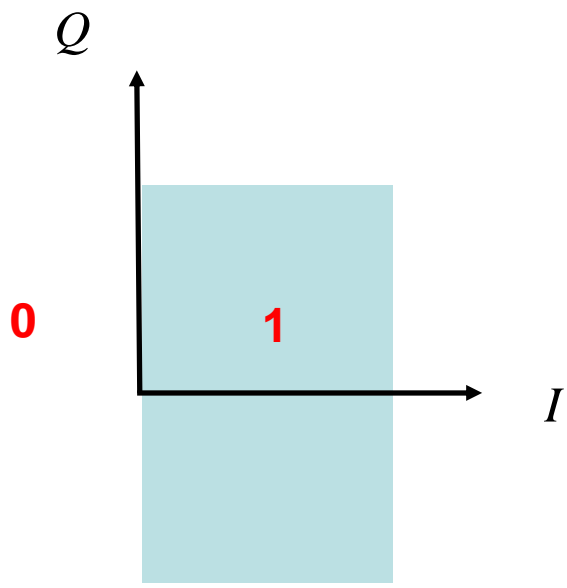
# PSK

## Modulazione IQ

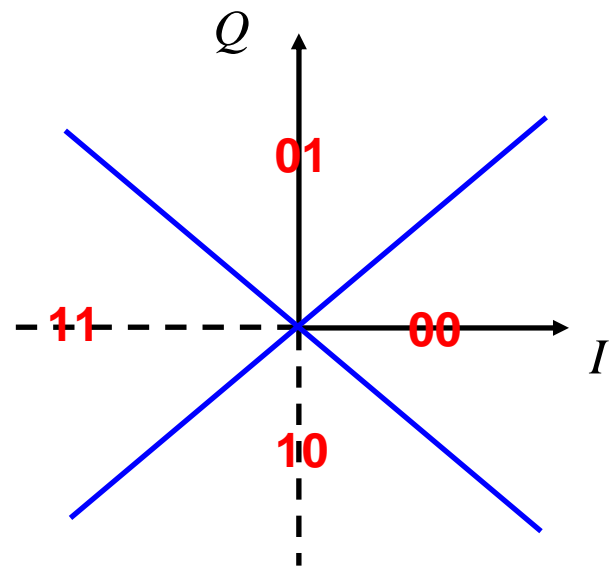
$$v = V \cos(\omega t + \varphi(t))$$



## B-PSK

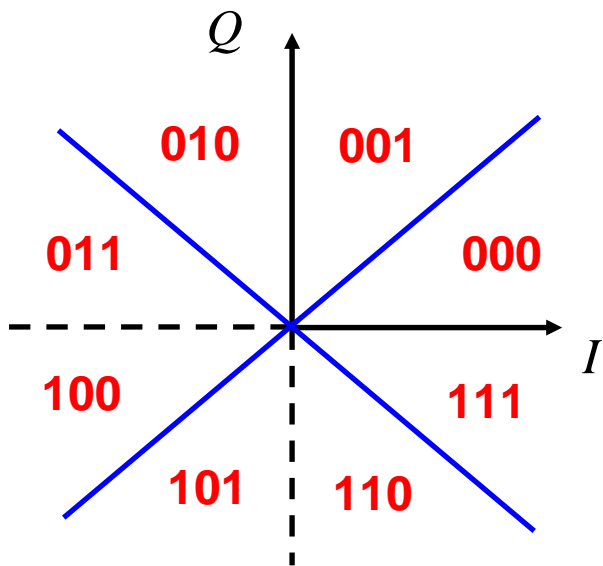


## Q-PSK 2bit



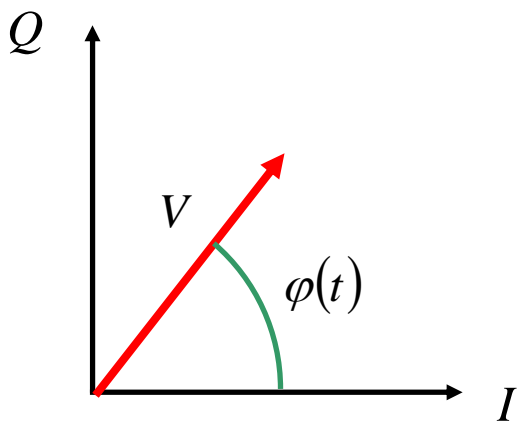


## Q-PSK 3bit

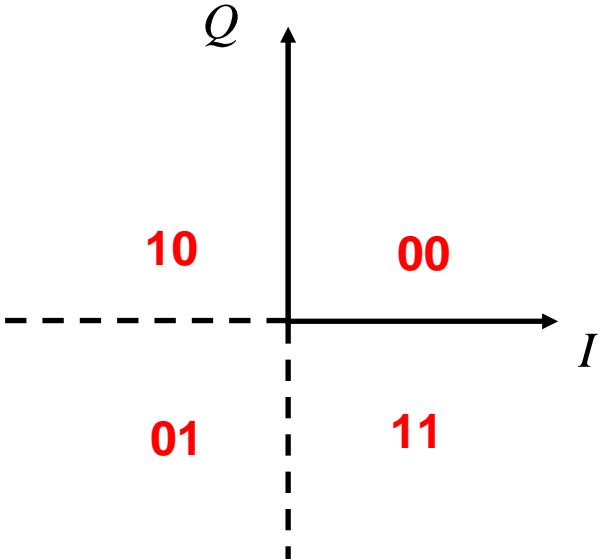


# Modulazione IQ

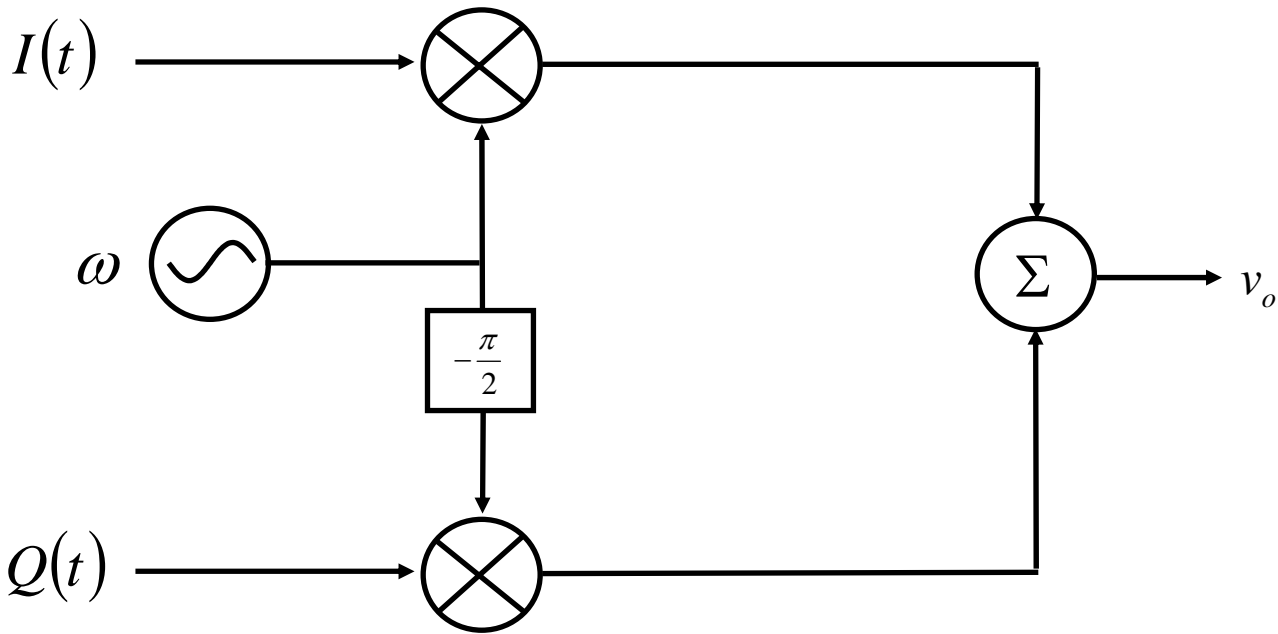
$v = V \cos(\omega t + \varphi(t))$



**QAM**



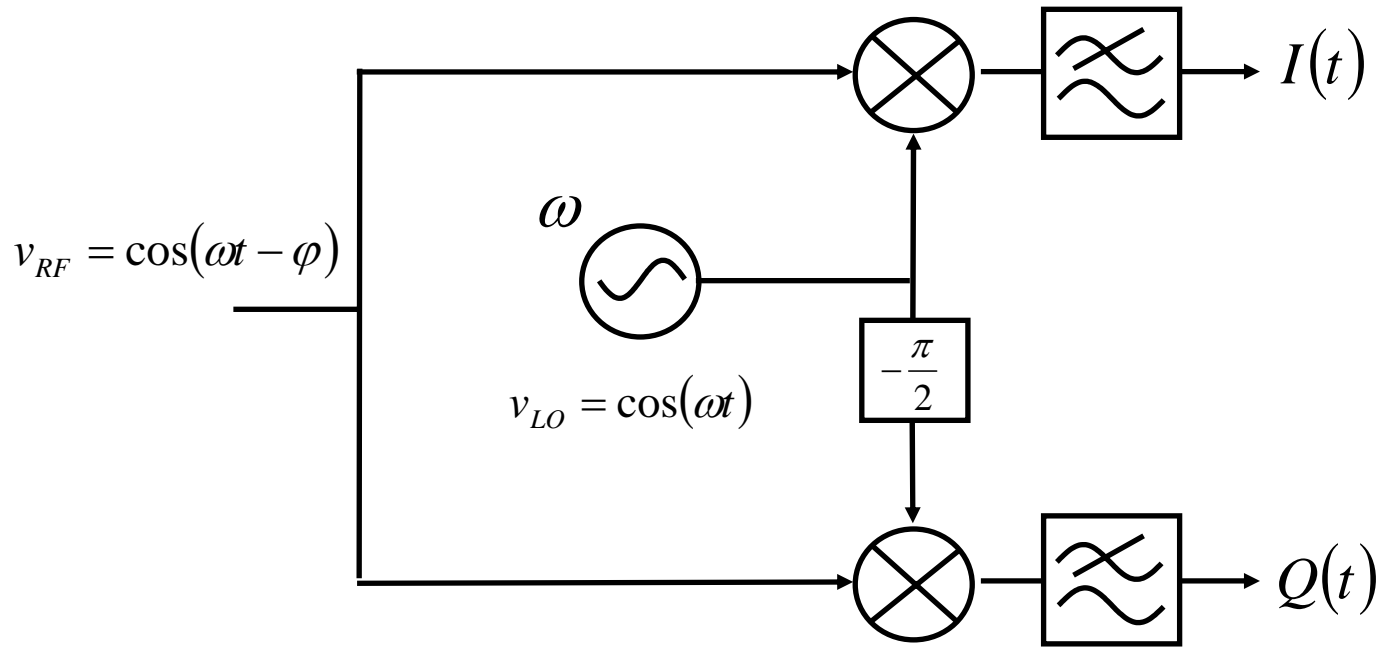
# Modulatore IQ



$$v_o = I \cos(\omega t) + Q \sin(\omega t) = \sqrt{I^2 + Q^2} \cos\left(\omega t - \tan^{-1}\left(\frac{Q}{I}\right)\right)$$

$\varphi$

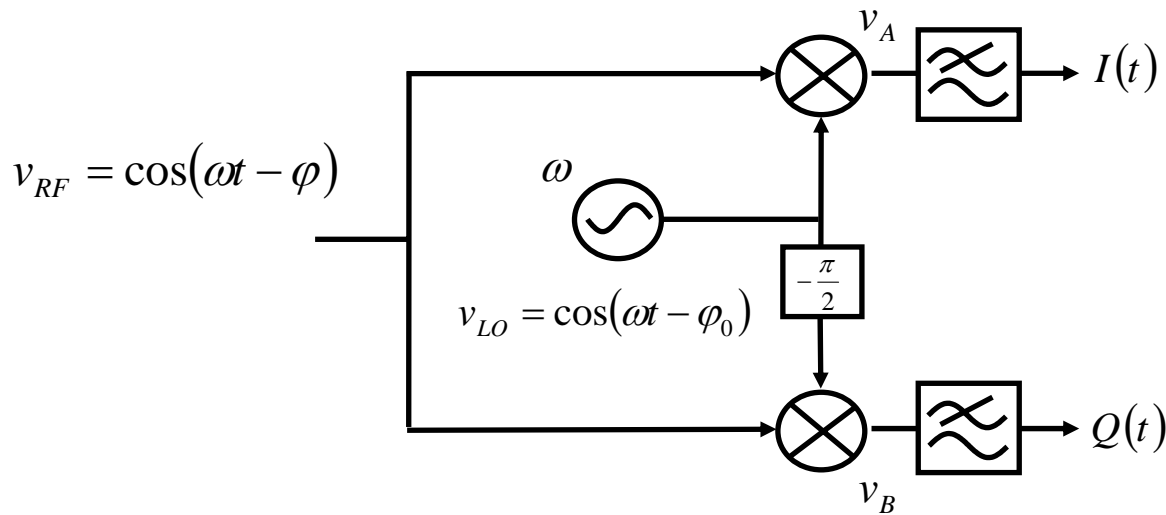
# Demodulatore IQ



$$v_A = \cos(\omega t - \varphi) \cos(\omega t) = \frac{1}{2} (\cos(2\omega t - \varphi) + \cos(-\varphi)) \longrightarrow I = \frac{1}{2} \cos(\varphi)$$

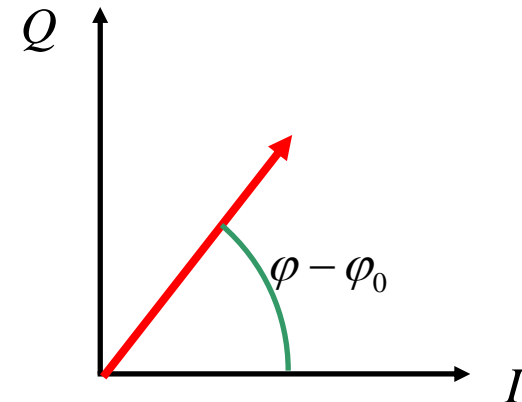
$$v_B = \cos(\omega t - \varphi) \sin(\omega t) = \frac{1}{2} (\sin(2\omega t - \varphi) - \sin(-\varphi)) \longrightarrow Q = \frac{1}{2} \sin(\varphi)$$

# Il problema della coerenza del LO del RX

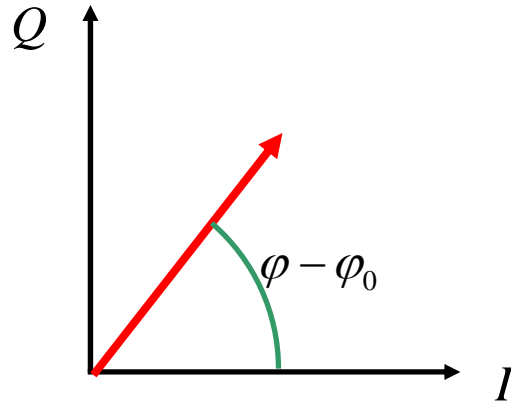


$$v_A = \cos(\omega t - \varphi) \cos(\omega t - \varphi_0) = \frac{1}{2} (\cos(2\omega t - \varphi - \varphi_0) + \cos(-\varphi + \varphi_0)) \rightarrow I = \frac{1}{2} \cos(-\varphi + \varphi_0) = \frac{1}{2} \cos(\varphi - \varphi_0)$$

$$v_B = \cos(\omega t - \varphi) \sin(\omega t - \varphi_0) = \frac{1}{2} (\sin(2\omega t - \varphi - \varphi_0) - \sin(-\varphi + \varphi_0)) \rightarrow Q = -\frac{1}{2} \sin(-\varphi + \varphi_0) = \frac{1}{2} \sin(\varphi - \varphi_0)$$



# Il problema della coerenza del LO del RX



1) Ricostruzione della portante

2) D-PSK (Differential –PSK)



Q-PSK 2bit

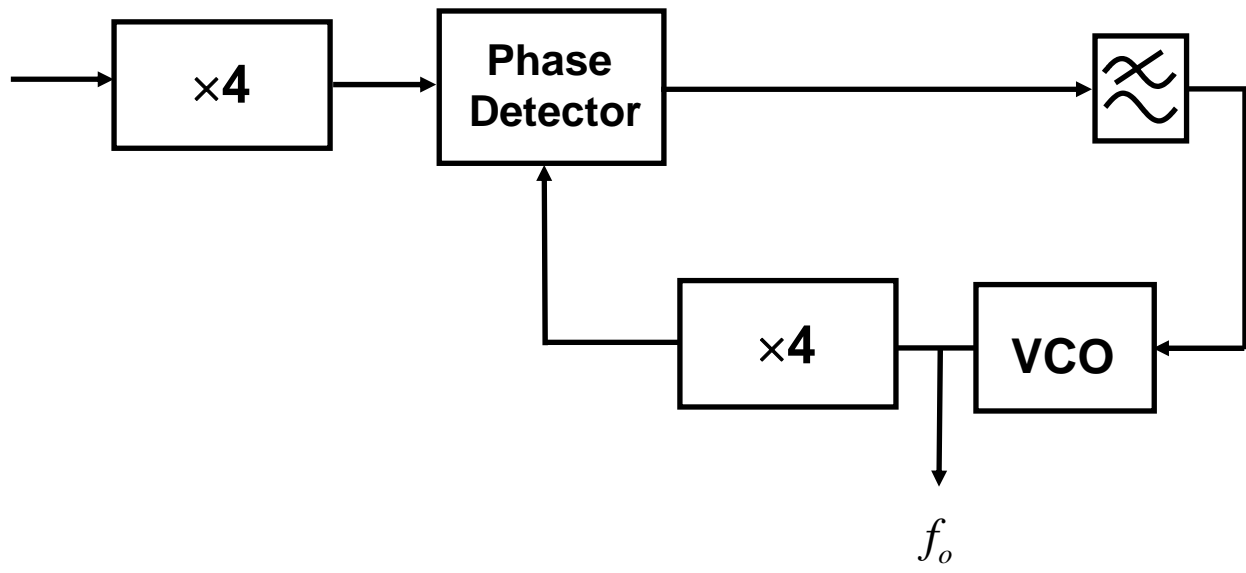
$s(t) = A \cos(\omega_0 t + \varphi)$

$\varphi = \frac{\pi}{4}, \frac{3}{4}\pi, -\frac{\pi}{4}, -\frac{3}{4}\pi$

×4

$s(t) = A \cos(4\omega_0 t + 4\varphi)$

$4\varphi = \pi, 3\pi, -\pi, 3\pi = \pi$

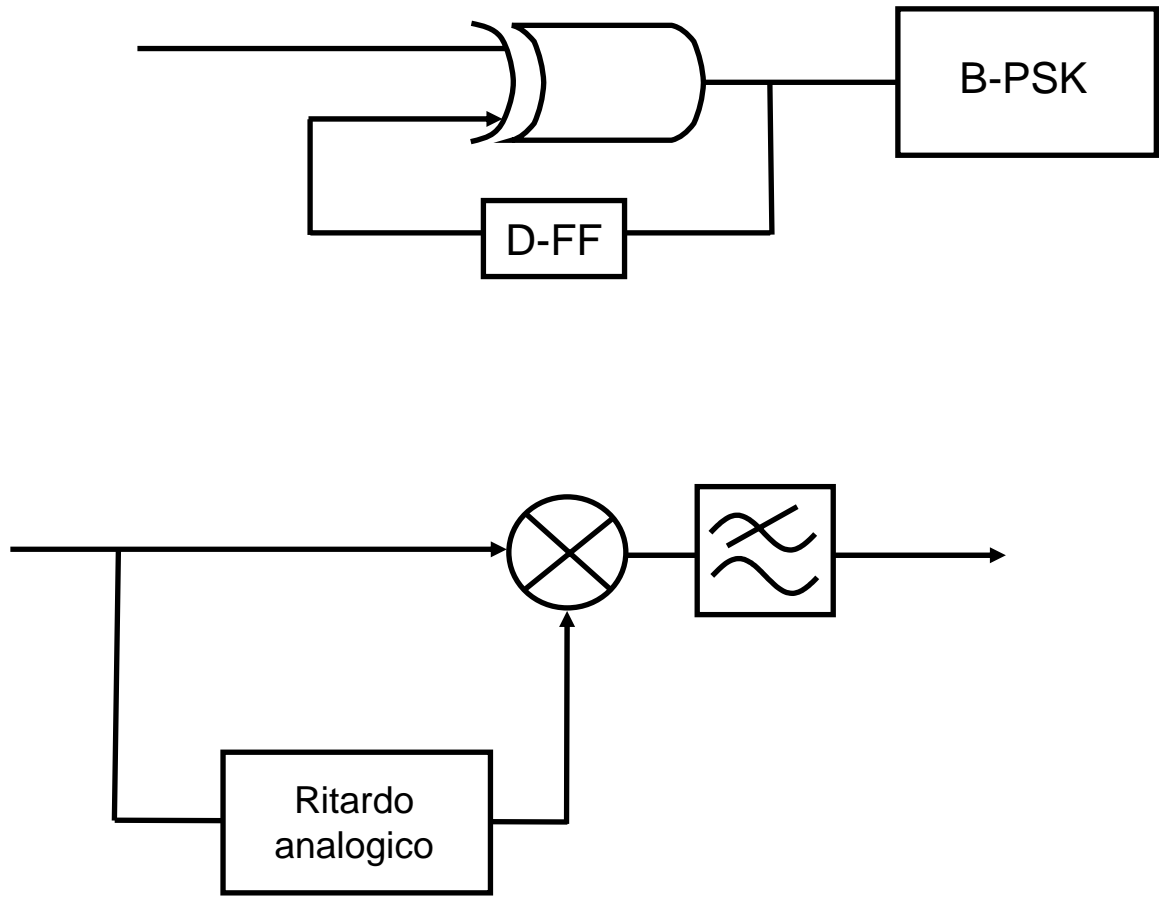




# Differential Phase Shift Keying

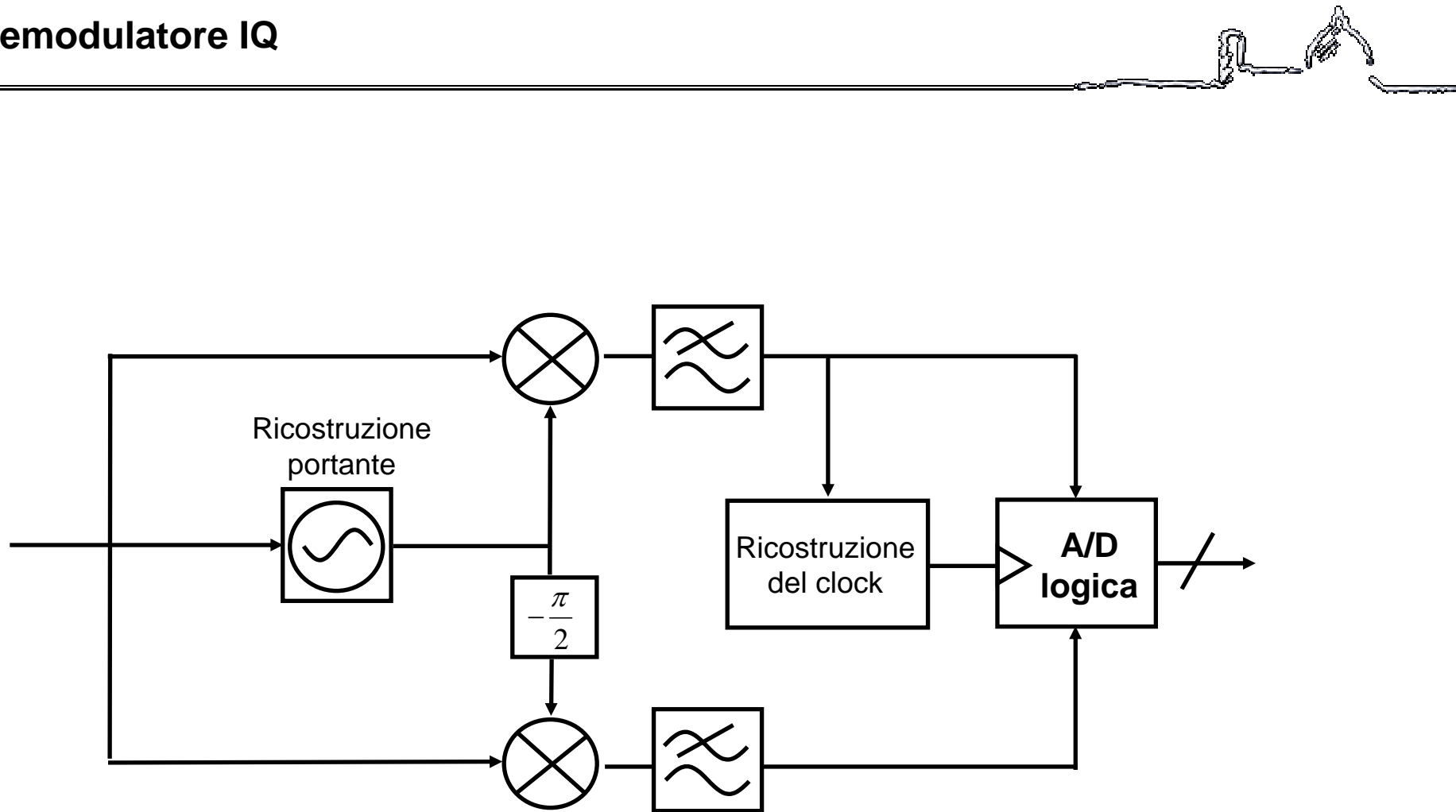


B-PSK

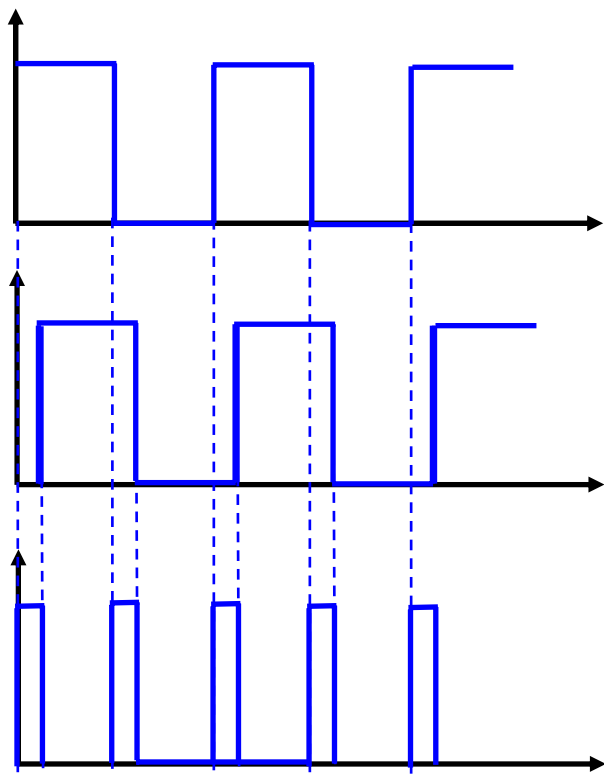
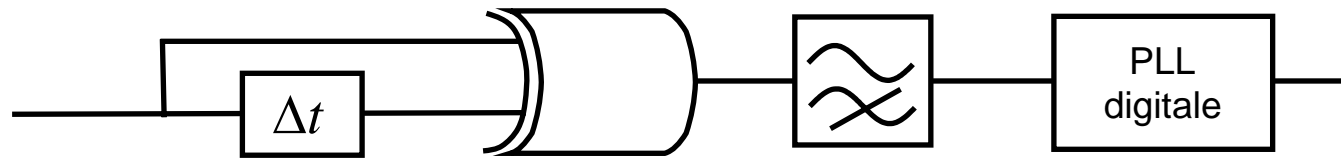


Il SNR è inferiore di 3dB

# Demodulatore IQ



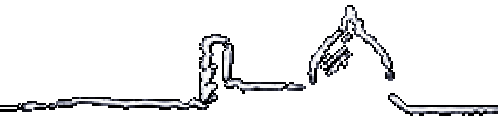
# Ricostruzione del clock



0 1 0 1 0 1    Massima frequenza

0 1 0 0 0 1    Componenti a più bassa frequenza

# Ricostruzione del clock



## Bit stuffer

Ogni 5 simboli uguali, il sesto è diverso.

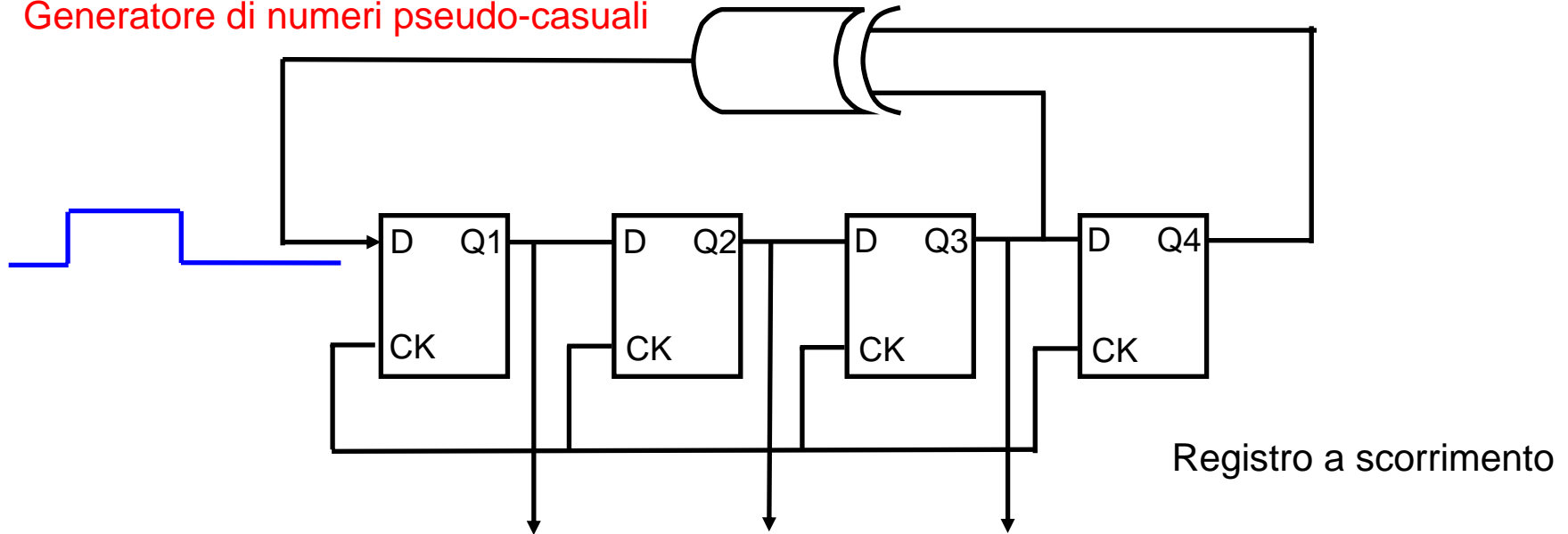
Il ricevitore ignora il valore del sesto simbolo se i precedenti 5 sono uguali

# Ricostruzione del clock



## Bit scrambling

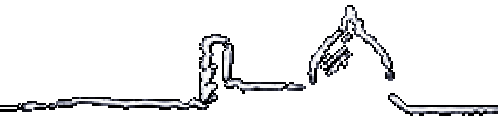
Generatore di numeri pseudo-casuali



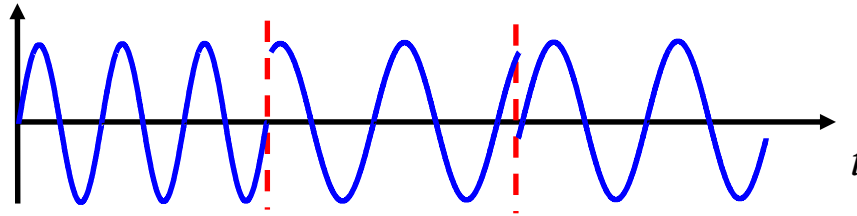
$$\text{MLS (Maximum Length Sequence)} = 2^N - 1$$

**Nota:** la funzione logica della rete di reazione dipende dal numero di bit

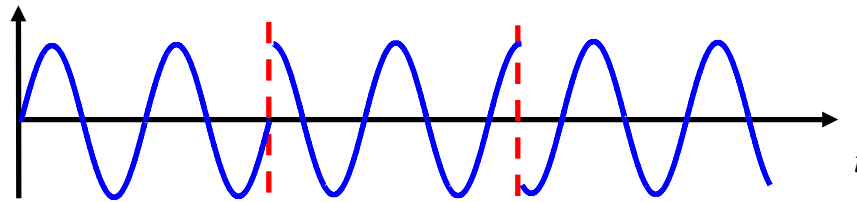
# Il problema delle brusche variazioni di fase



**FSK**

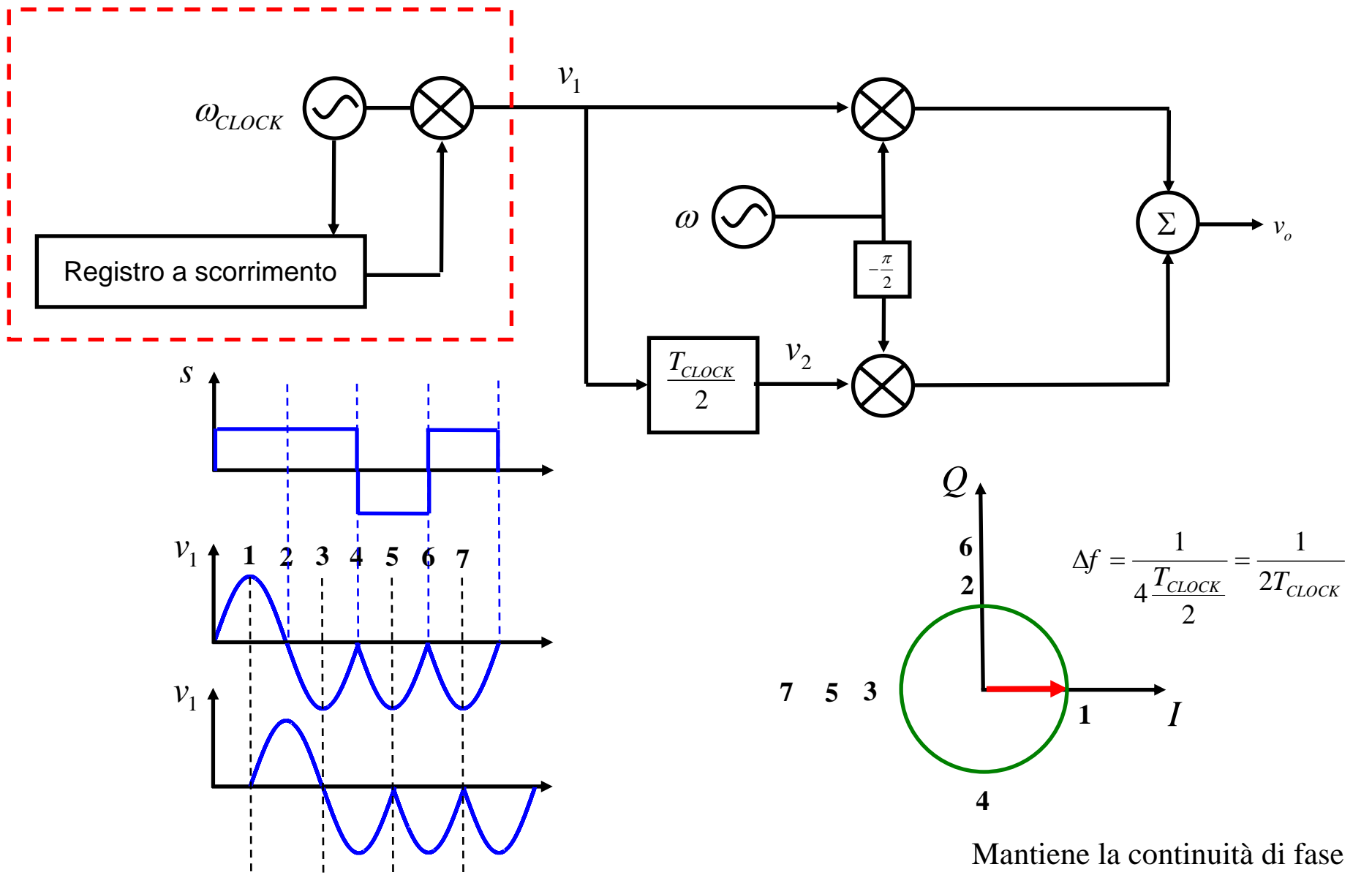


**PSK**

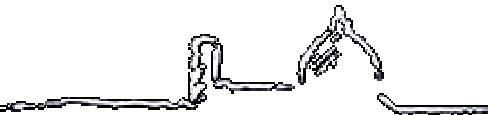


Le brusche transizioni producono componenti a larga banda che devono essere filtrate per non interferire con i canali adiacenti

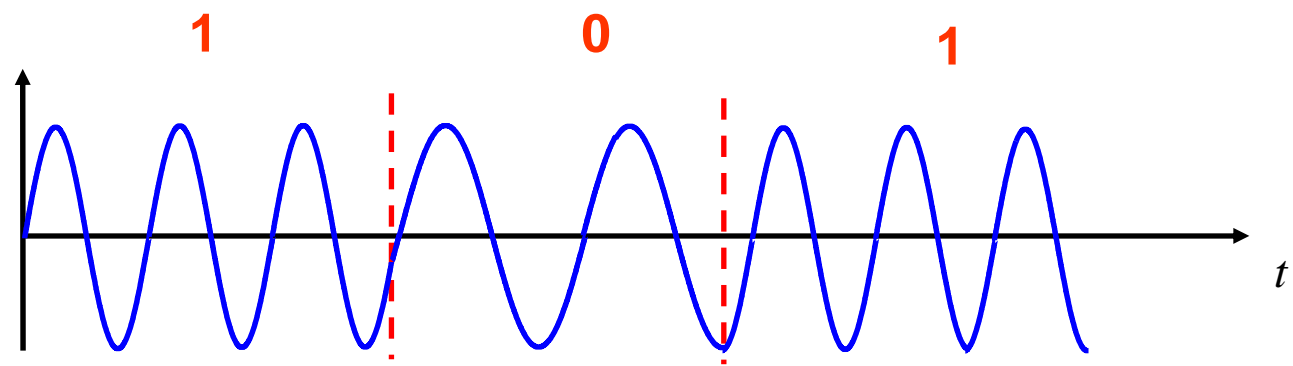
# MSK Minimum Shift Keying



# MSK Minimum Shift Keying

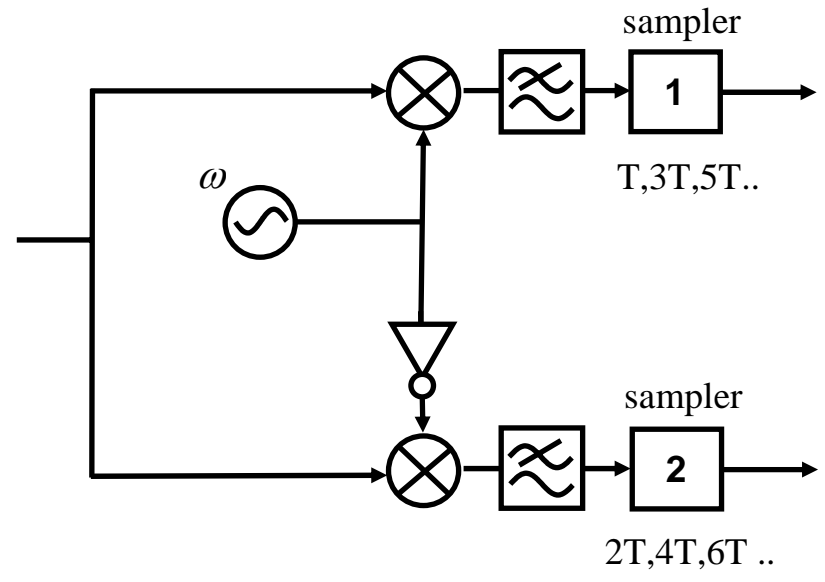
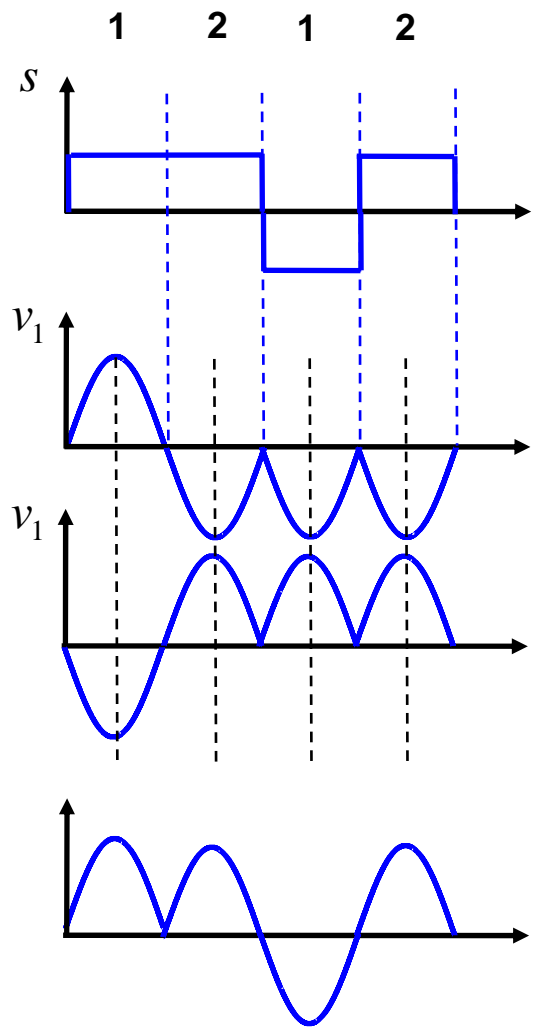


Continuità di fase

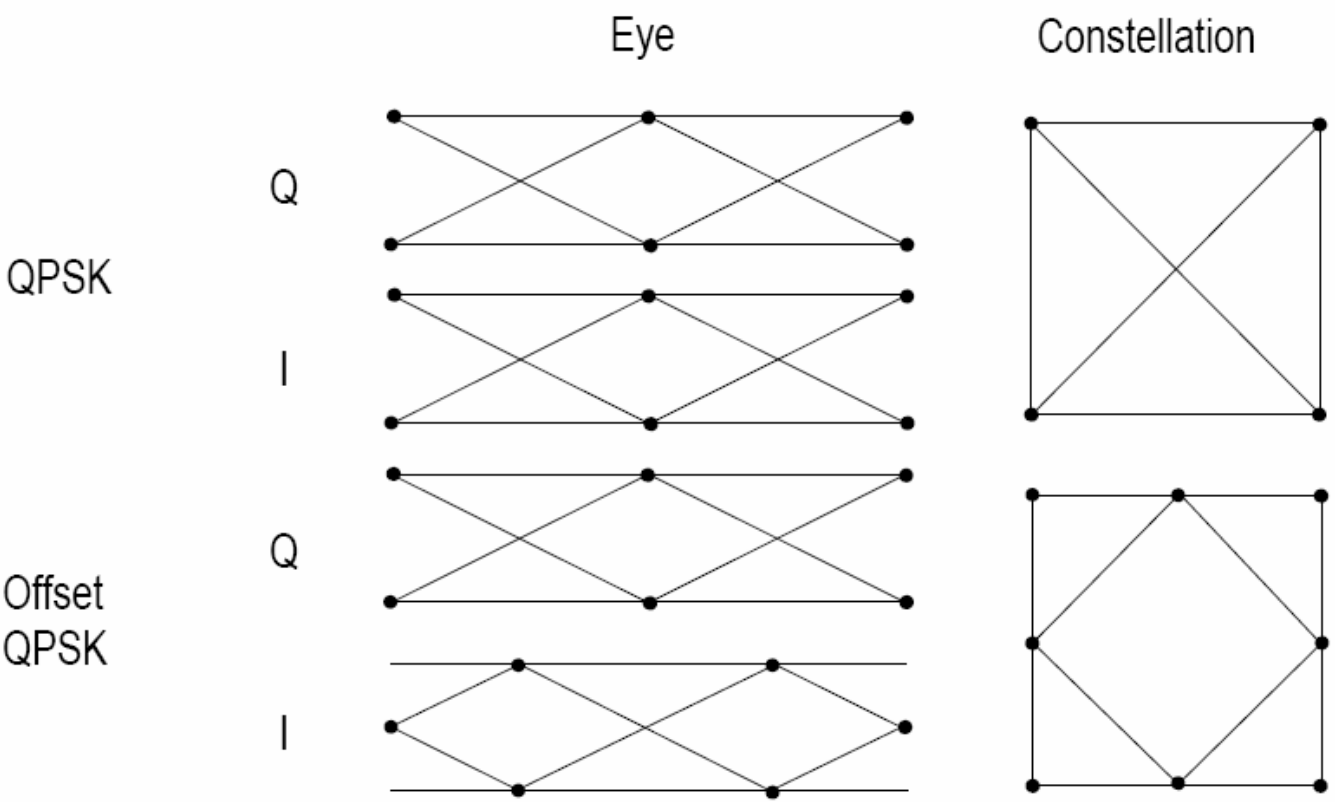




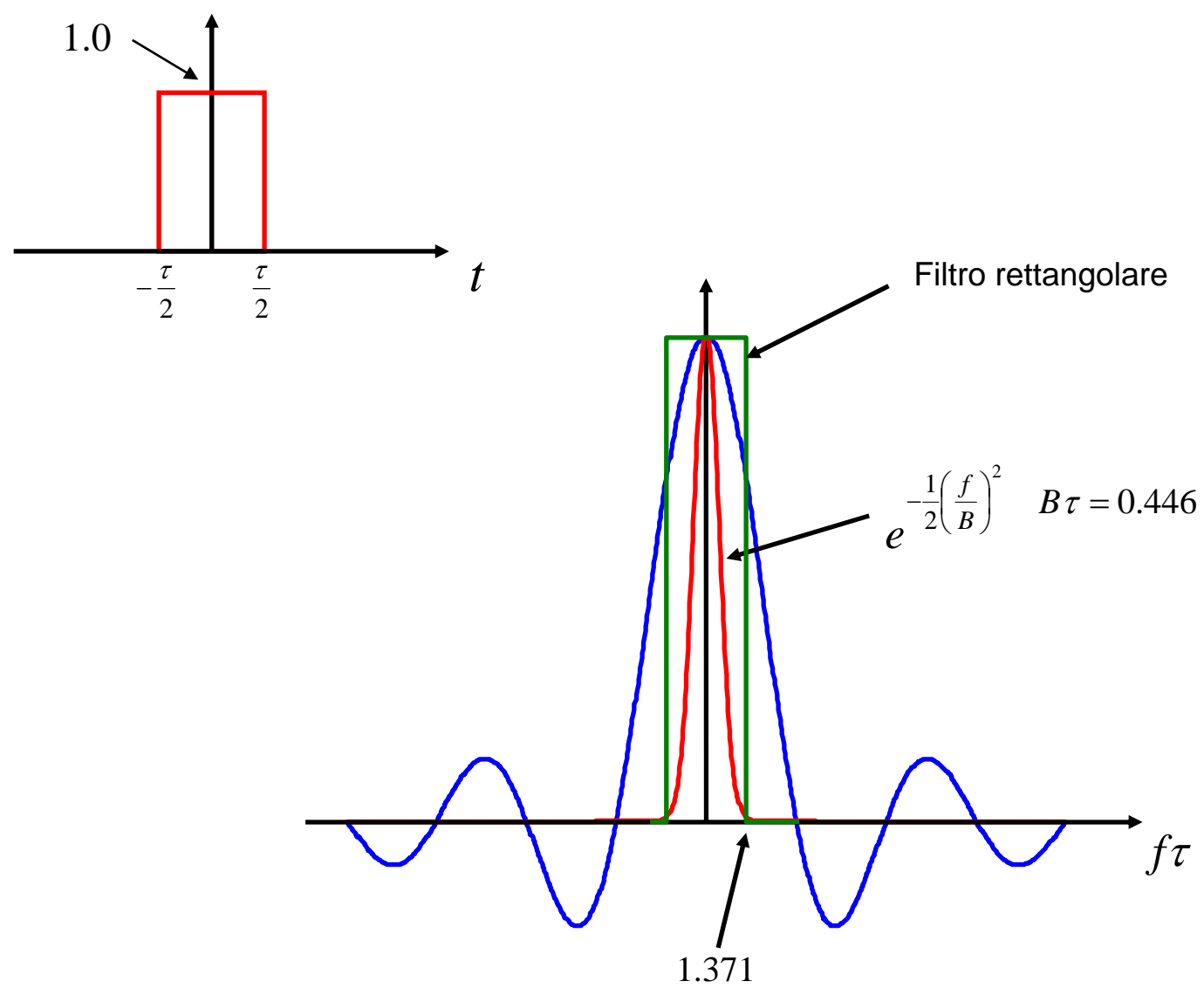
# Demodulatore MSK

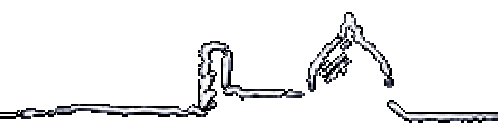


# Offset Q- PSK

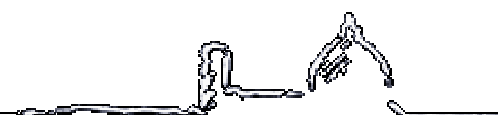


# Filtro gaussiano





Modulation format	Theoretical bandwidth efficiency limits
MSK	1 bit/second/Hz
BPSK	1 bit/second/Hz
QPSK	2 bits/second/Hz
8PSK	3 bits/second/Hz
16 QAM	4 bits/second/Hz
32 QAM	5 bits/second/Hz
64 QAM	6 bits/second/Hz
256 QAM	8 bits/second/Hz



Modulation format	Application
MSK, GMSK	GSM, CDPD
BPSK	Deep space telemetry, cable modems
QPSK, $\pi/4$ DQPSK	Satellite, CDMA, NADC, TETRA, PHS, PDC, LMDS, DVB-S, cable (return path), cable modems, TFTS
OQPSK	CDMA, satellite
FSK, GFSK	DECT, paging, RAM mobile data, AMPS, CT2, ERMES, land mobile, public safety
8PSK	Satellite, aircraft, telemetry pilots for monitoring broadband video systems
16 QAM	Microwave digital radio, modems, DVB-C, DVB-T
32 QAM	Terrestrial microwave, DVB-T
64 QAM	DVB-C, modems, broadband set top boxes, MMDS
256 QAM	Modems, DVB-C (Europe), Digital Video (US)